## Thermodynamique - Écoulements stationnaires

## EX 1 – Cycles de Rankine et de Hirn

Le cycle de Rankine est le cycle de base des centrales nucléaires. La pompe d'alimentation porte l'eau liquide saturante de la basse pression  $P_0$  du condenseur (état 0) à la pression  $P_1$  du générateur de vapeur (GV) de façon adiabatique et réversible (état 1). L'eau liquide comprimée est ensuite chauffée de façon isobare dans le générateur de vapeur jusqu'à la température  $T_2$  du changement d'état (état 1'), puis totalement vaporisée (état 2). La vapeur saturante sèche produite subit ensuite une détente adiabatique réversible (2-3) dans une turbine calorifugée, sans variation notable d'énergie cinétique. Le fluide pénètre ensuite dans le condenseur pour y être totalement condensé de façon isobare à la température  $T_1$ .

 $Donn\'ees: T_1 = 30$ °C;  $T_2 = 300$ °C et la température critique de l'eau  $T_C = 374$ °C.

P (bar)	T (°C)	État	$s  (kJ.kg^{-1}.K^{-1})$	$h \text{ (kJ.kg}^{-1})$
0,04	30	Liquide saturant	0,44	126
0,04	30	Vapeur saturante sèche	8,46	2566
85,9	300	Liquide saturant	3,24	1345
85,9	300	Vapeur saturante sèche	5,57	2749

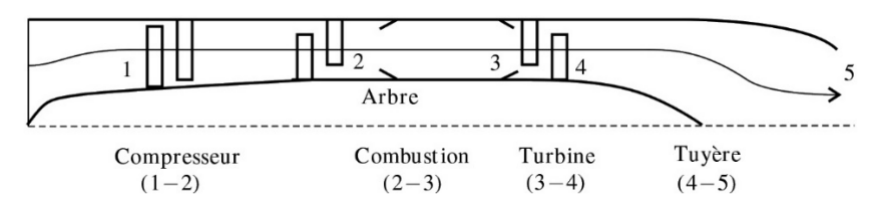
- 1. Représenter l'allure du cycle dans les diagrammes (T, s) et (P, h).
- 2. À partir des données, évaluer la capacité thermique de l'eau liquide  $c_{\ell}$  sur le domaine étudié. Comment expliquer l'écart avec la valeur connue pour P=1 atm, à l'origine de la définition de la calorie?
- 3. Déterminer le titre massique et l'enthalpie massique de la vapeur à la sortie de la turbine.
- 4. Montrer qu'on peut considérer que  $h_1 \approx h_0$  en évaluant l'ordre de grandeur de la différence. Que peut-on dire du travail consommé par la pompe en comparaison du travail fourni à l'extérieur par la turbine?
- 5. Calculer le rendement  $\eta$  du cycle, et le comparer à celui du cycle réversible fonctionnant entre les mêmes températures extrêmes. D'où provient cet écart ? Évaluer la production d'entropie massique.
- **6.** Quel débit massique de fluide est nécessaire pour obtenir une puissance convertie par l'alternateur de 100 kW?
- 7. Quel inconvénient comporte ce cycle pour les parties mobiles de la turbine?
- **8.** Vérifier la cohérence des données et des valeurs calculées avec les diagrammes (T, s) et  $(\ln P, h)$  de l'eau fournis en annexe (R718).

On imagine modifier ce cycle en ajoutant un surchauffeur entre le générateur de vapeur et la turbine, de façon à déplacer l'état 3 sur la courbe de rosée à la même température (cycle de Hirn).

- 9. Représenter l'allure du nouveau cycle en diagrammes (T, s) et (P, h), en introduisant les nouveaux états 2' et 3'. En utilisant le *Diagramme de Mollier* fourni en annexe, indiquer approximativement la température  $T_{2'}$  et l'enthalpie massique  $h_{2'}$  atteintes en sortie de surchauffeur.
- 10. En déduire le nouveau rendement  $\eta'$  du cycle, le nouveau rendement de Carnot auquel on pourrait le comparer, et la production d'entropie massique. Commenter.

## EX 2 – Turboréacteur à simple flux

Le schéma de principe du turboréacteur à simple flux est représenté ci-dessus (moitié supérieure de la section méridienne, avec l'axe de symétrie en pointillés, l'avant de l'avion est à gauche).



Un compresseur axial aspire l'air ambiant, à la pression  $P_1=1,00$  bar et la température  $T_1=288\,\mathrm{K}$ . Après compression, l'air est chauffé dans la chambre de combustion jusqu'à la température  $T_3=1250\,\mathrm{K}$ . Après détente partielle dans la turbine axiale, l'air est envoyé dans la tuyère où la détente s'effectue jusqu'à la pression ambiante  $P_5=1,00\,\mathrm{bar}$ . Le compresseur est uniquement entraîné par la turbine, qui lui transmet intégralement la puissance mécanique que lui fournit l'écoulement via l'arbre commun. On donne le taux de compression du compresseur :  $\frac{P_2}{P_1}=6,15$ .

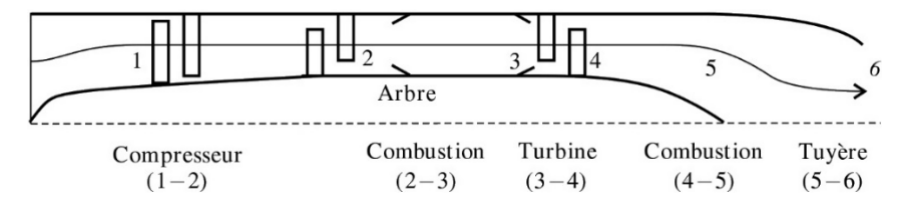
L'air est assimilé à un gaz parfait, de capacité  $c_p=1,00\,\mathrm{kg^{-1}.K^{-1}}$  et de coefficient  $\gamma=1,40$ . On négligera le changement de sa composition lié à la combustion. L'énergie cinétique sera négligée, sauf à la sortie de la tuyère. Le débit massique d'air aspiré par le turboréacteur vaut  $D_M=50,00\,\mathrm{kg.s^{-1}}$ . Les évolutions à l'intérieur des turbomachines (compresseurs et turbines) et des tuyères sont supposées adiabatiques, réversibles. On négligera les pertes de charge de l'air à l'intérieur des chambres de combustion : les évolutions y sont supposées isobares. On définit le rendement thermique du turboréacteur  $\eta_{\mathrm{th}}$  comme le rapport de l'énergie cinétique massique reçue par l'air sur la chaleur massique fournie par la combustion.

1. Calculer la température  $T_2$  (sortie du compresseur), le  $travail indiqué^1$  massique de compression, la température  $T_4$  et la pression  $P_4$  à la sortie de la turbine, la température  $T_5$  et la vitesse  $c_5$  à la sortie de la tuyère.

<sup>1.</sup> Synonyme de travail utile.

2. Calculer la quantité de chaleur massique fournie à l'air lors de la combustion, notée  $q_{23}$ . Calculer l'énergie cinétique massique de l'air à la sortie de la tuyère. En déduire le rendement thermique  $\eta_{\rm th}$  de ce turboréacteur.

On s'intéresse maintenant à un turboréacteur à simple flux à post-combustion.



La configuration est identique à la précédente, sauf que l'on insère une seconde chambre de combustion entre la turbine et la tuyère, qui amène l'air jusqu'à la température  $T_5 = 1930 \,\mathrm{K}$ . La détente s'effectue ensuite dans la tuyère jusqu'à la pression ambiante  $P_6 = 1,00 \,\mathrm{bar}$ . Rien n'est modifié en amont.

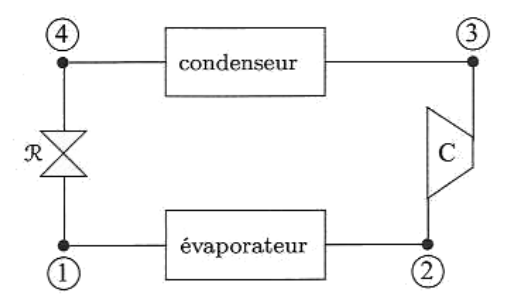
- 3. Calculer la température  $T_6$  et la vitesse  $c_6$  en sortie de tuyère.
- 4. Calculer la quantité de chaleur massique  $q_{45}$  fournie à l'air lors de la seconde combustion. En déduire le rendement thermique  $\eta_{\rm th}$ , de ce turboréacteur. Comparer les paramètres des deux turboréacteurs étudiés et conclure.

Ce type de turboréacteur est adapté aux applications militaires, au-delà de Mach 1. La seconde combustion est utilisée sur des temps courts.

## EX 3 - Pompe à chaleur à fréon

Une pompe à chaleur à fréon R22, de masse molaire  $M=86,5\,\mathrm{g.mol^{-1}}$  prélève de la chaleur à un circuit d'eau froide et en cède à l'eau chaude qui circule dans le sol de l'habitation. Le fluide réfrigérant décrit le cycle thermodynamique suivant :

- état 1 (diphasique)  $\rightarrow$  état 2 (vapeur saturante) : vaporisation à la pression  $P_2 = 5,0$  bar.
- état  $2 \rightarrow$  état 3: compression jusqu'à la pression  $P_3 = 15\,\mathrm{bar}$ .
- état  $3 \rightarrow$  état 4 (liquide saturant) : refroidissement et liquéfaction. On appellera 5 l'état intermédiaire de vapeur saturante.

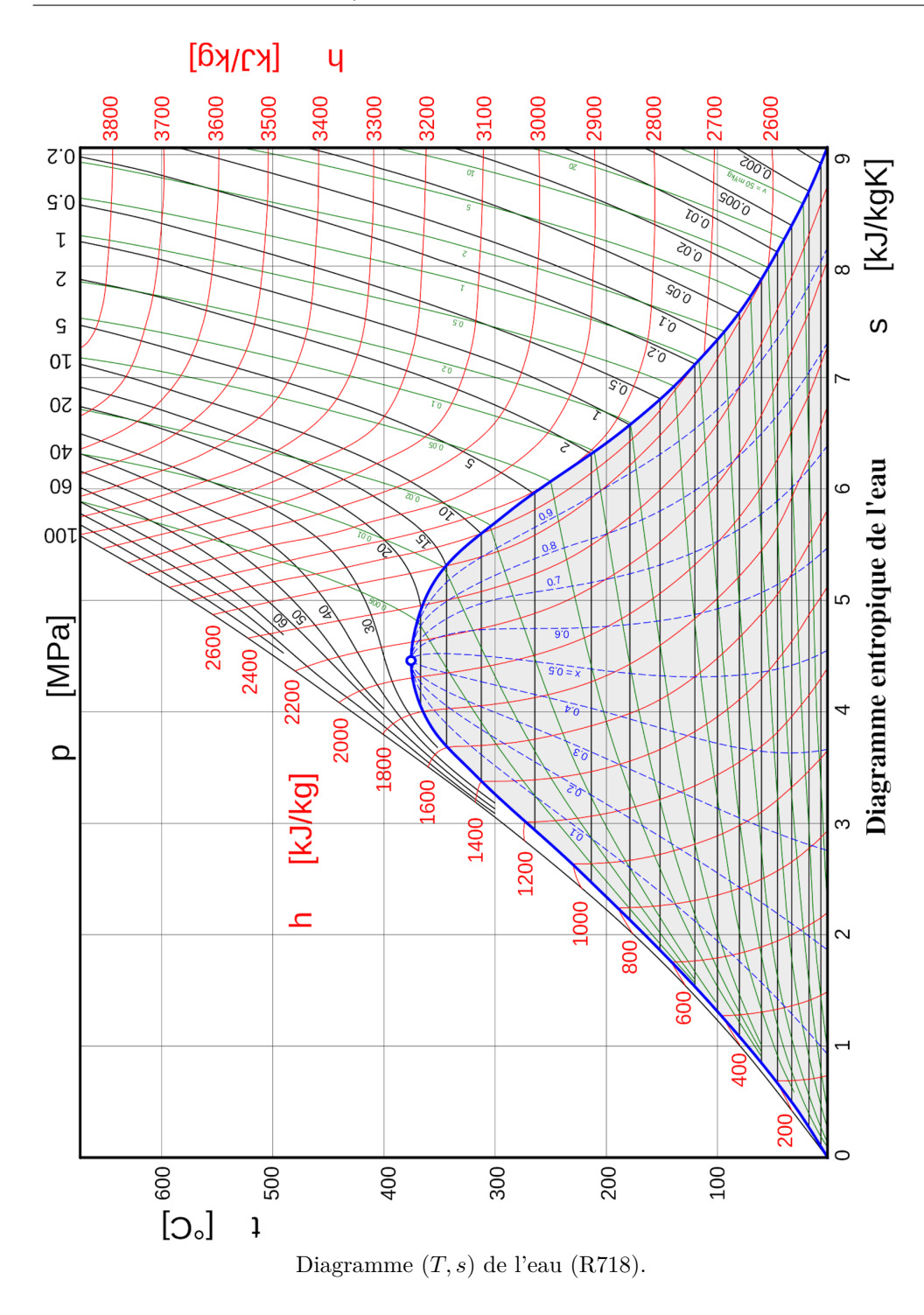


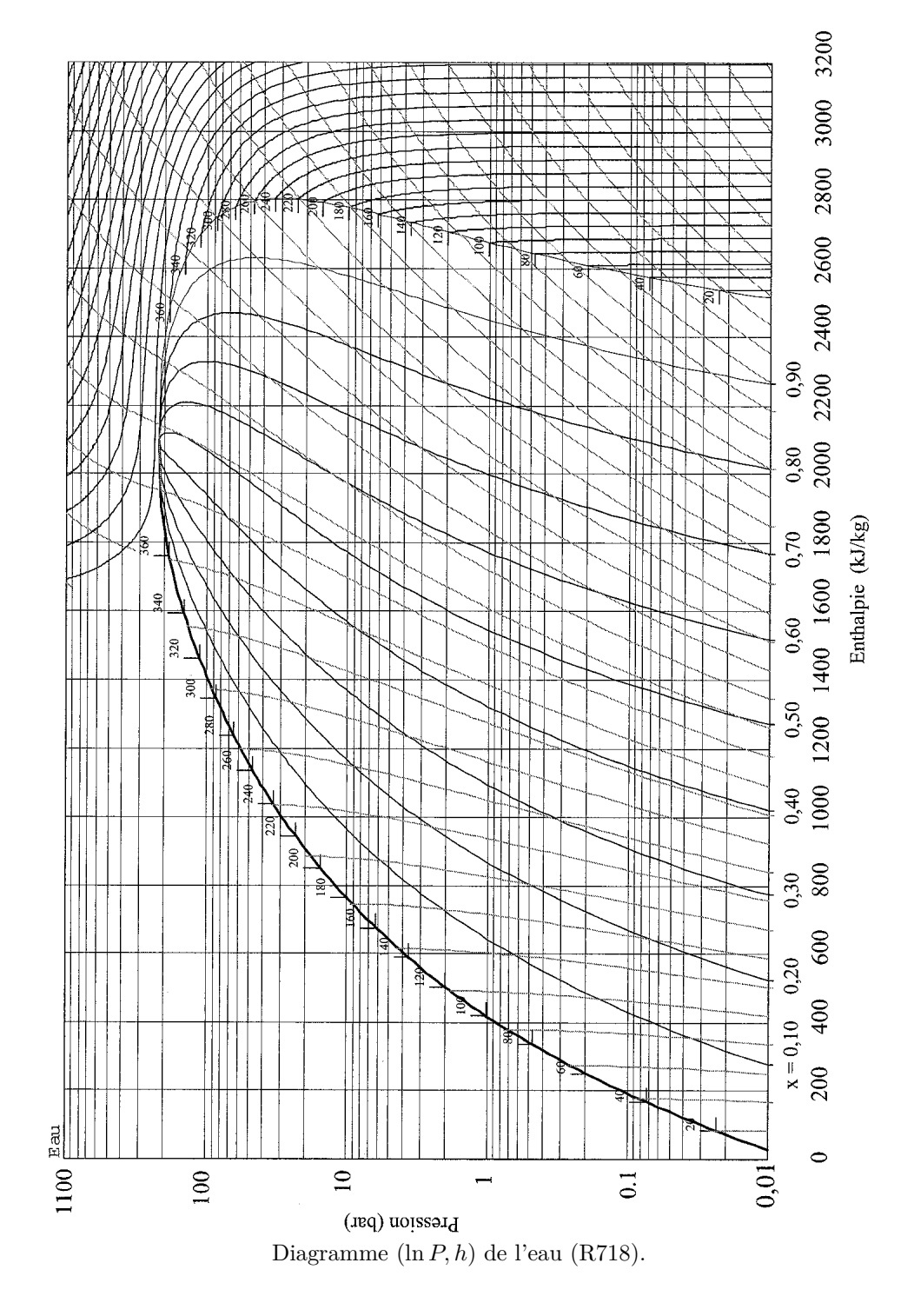
• état  $4 \rightarrow$  état 1 : détente.

L'installation est entièrement calorifugée. Les variations d'énergie cinétique macroscopique sont partout négligeables.

- 1. Rappeler la nature des transformations entre les différents états.
- **2.** Placer les points 1, 2, 3, 4 et 5 sur le diagramme  $(\ln P, h)$  fourni en annexe, et représenter le cycle. Lire les valeurs des températures T, entropie massique s,

- enthalpie massique h, pression P aux points 1, 2, 3, 4 et 5. Récapituler vos résultats dans un tableau. Lire également la valeur de  $x_1$ .
- 3. À partir du diagramme, calculer les caractéristiques du fluide suivantes :
  - Coefficient  $\gamma$  du fréon assimilé à un gaz parfait.
  - Chaleurs latentes de vaporisation aux température  $T_2$  et  $T_3$ . Commenter.
  - La capacité thermique massique du fréon liquide  $c_{\ell}$ .
- 4. Déterminer les travaux et transfert thermiques échangés par unité de masse dans les différents éléments. Récapituler vos résultats dans un tableau.
- 5. À partir des résultats précédents, vérifier le 1er principe de la thermodynamique.
- **6.** Définir et calculer l'efficacité de cette pompe à chaleur. Définir et calculer l'efficacité du cycle de Carnot associé, et représenter ce cycle sur le diagramme. Conclure.





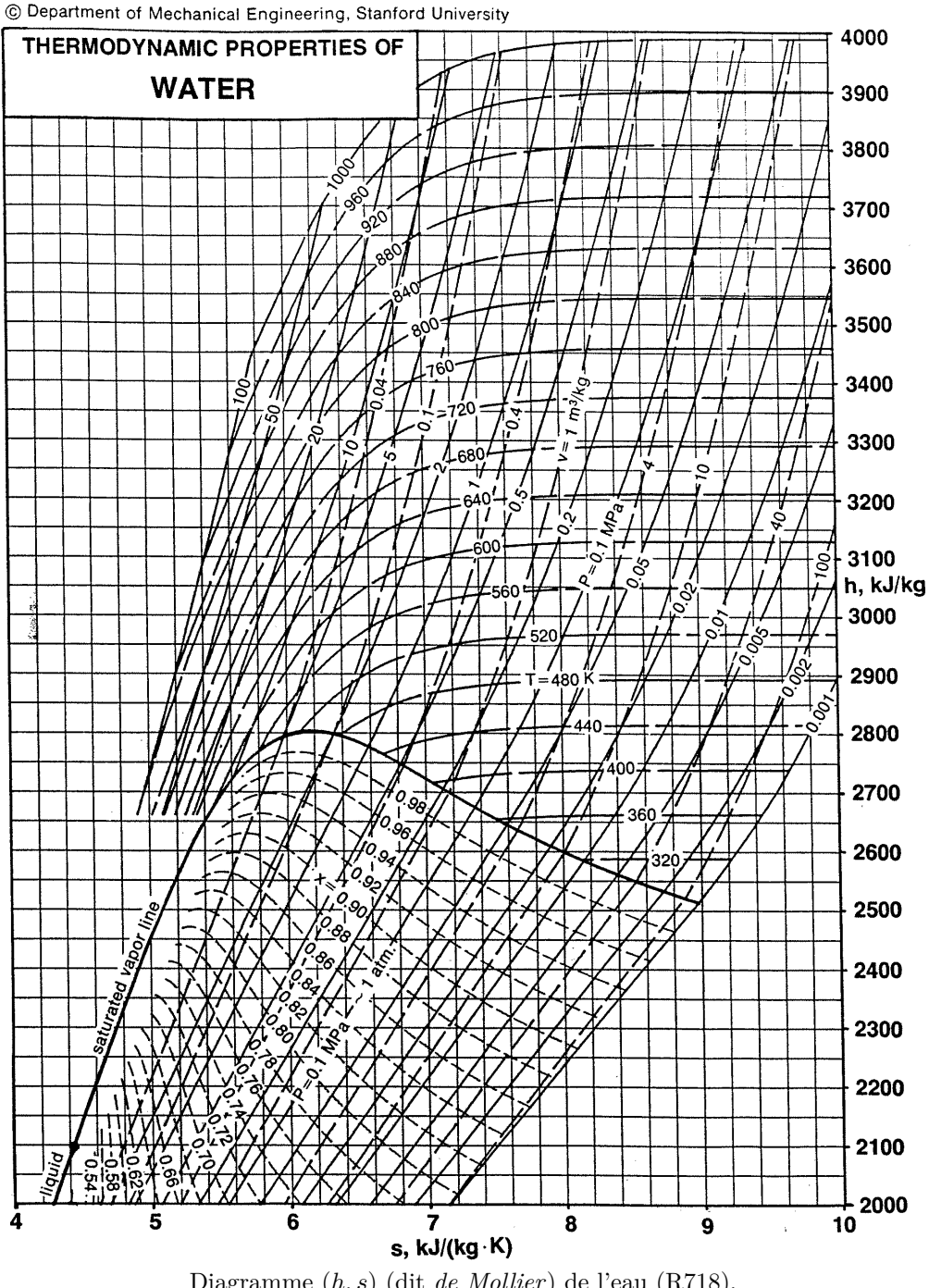


Diagramme (h, s) (dit de Mollier) de l'eau (R718).

